

# Modélisation du transport d'un polluant

Projet d'introduction à la recherche

Léo Baty, Chiheb Eddine Najjar, Nathan Godey, Régis Santet, Song Phuc Duong,  
Clément Lasuen  
sous la direction de  
Damiano Lombardi et Sebastien Boyaval  
Laboratoire INRIA

2 juin 2018

# Sommaire

## 1 Introduction

## 2 Méthodes

- Proper Orthogonal Decomposition
- Champs de vitesse étudiés
- Approche eulerienne
- Approche lagrangienne

## 3 Résultats et interprétations

- Approche eulerienne
  - Champ de vitesse uniforme
  - Écoulements cellulaires
- Approche lagrangienne
  - Champ de vitesse uniforme
  - Écoulements cellulaires
  - Champ de vitesse de Lamb-Oseen

## 4 Conclusion

# Introduction



FIGURE 1: Explosion de *Deepwater Horizon*, 20/04/2010

## Equation de transport

$$\partial_t c + u \cdot \nabla c = 0$$

$c(x,t)$  : concentration en polluant à la position  $x \in (0,1)^2 = \Omega$  à l'instant  $t \in [0, T]$

$u$  : champ de vitesse, dépend *a priori* de  $x$  et de  $t$

## Champs de vitesse étudiés

Champ de vitesse uniforme

$$\begin{cases} u_x = ||u|| \cos(\theta) \\ u_y = ||u|| \sin(\theta) \end{cases}$$

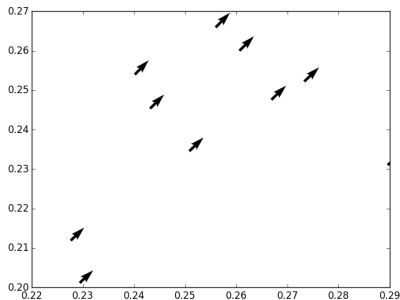


FIGURE 2: Écoulement constant avec un angle  $\theta$

# Champs de vitesse étudiés

Écoulements cellulaires

$$\psi(x, y) = \sin(2\pi x) \sin(2\pi y) + \theta_0 \cos(2\pi\theta_1 x) \cos(2\pi\theta_2 y)$$

$$\theta_0 \in [0, 2.5] \text{ et } (\theta_1, \theta_2) \in [0.5, 4]^2$$

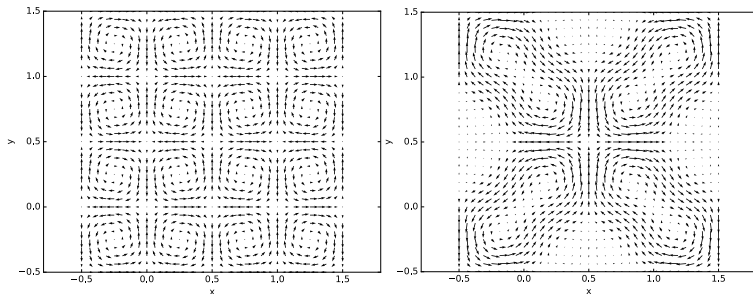


FIGURE 3: Champs de vitesse pour deux jeux de paramètres

# Champs de vitesse étudiés

Champ de vitesse de Lamb-Oseen

$$\mathbf{v}(r, \theta, t) = \frac{\Gamma}{2\pi r} \left( 1 - \exp \left( \frac{-r^2}{4\nu t + r_c^2} \right) \right) \mathbf{u}_\theta$$

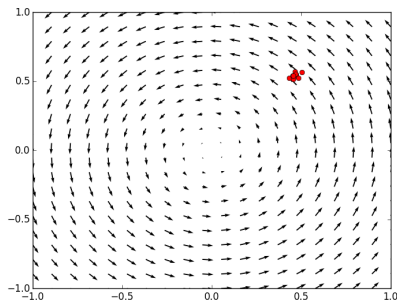


FIGURE 4: Écoulement Lamb-Oseen

## Approche eulerienne

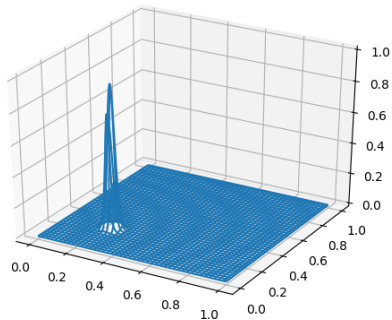


FIGURE 5: Condition initiale...



## Approche eulerienne

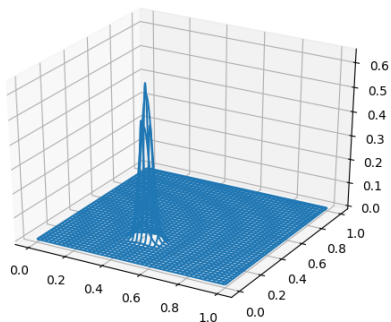


FIGURE 6: ... et après un certain temps

# Approche eulerienne

Méthode des volumes finis

# Approche eulerienne

Modèle réduit

## Approche lagrangienne

$X(\xi, t) \in \mathbb{R}^{n \times 2}$  désigne les positions, à l'instant  $t \in [0, T]$ , des particules qui étaient initialement aux positions  $\xi \in \mathbb{R}^{n \times 2}$

$$\begin{cases} \partial_t X = v(X(\xi, t), t) \\ X(\xi, 0) = \xi \end{cases}$$

## Hypothèses

$$v \in C^0(\mathbb{R}^{n \times 2} \times \mathbb{R}) \cap W^{1,\infty}(\mathbb{R}^{n \times 2} \times \mathbb{R})$$

## Théorème de Cauchy-Lipschitz

Existence et unicité d'une solution locale pour des temps arbitraires

## Conséquence

Le transport est à vitesse finie

# Approche lagrangienne

## Résolution numérique

Schéma de Crank-Nicholson :

$$X^{(k+1)} = X^{(k)} + \frac{\Delta t}{2} (v(X^{(k)}, t^k) + v(X^{(k+1)}, t^{k+1}))$$

Algorithme du point fixe :

$$\left\{ \begin{array}{l} X_0^{(k+1)} = X^{(k)} \\ X_1^{(k+1)} = X^{(k)} + \Delta t v(X^{(k)}, t^k) \\ X_{r+1}^{(k+1)} = X^{(k)} + \frac{\Delta t}{2} (v(X^{(k)}, t^k) + v(X_r^{(k+1)}, t^{k+1})) \end{array} \right.$$

# Approche eulerienne

Champ de vitesse uniforme

16 simulations,  $\theta \in [0, \frac{\pi}{2}]$

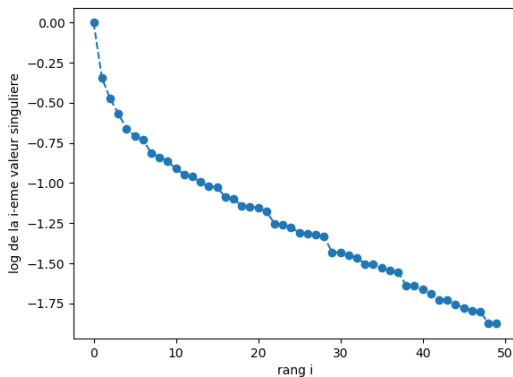
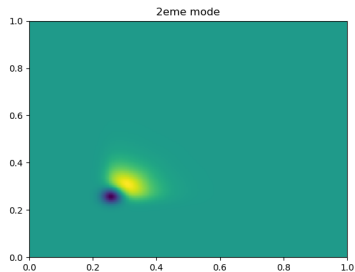
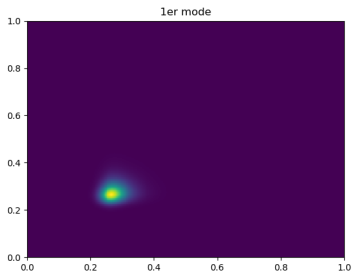


FIGURE 7: Tracé du log des valeurs singulières en fonction du rang

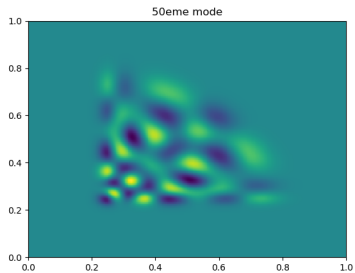
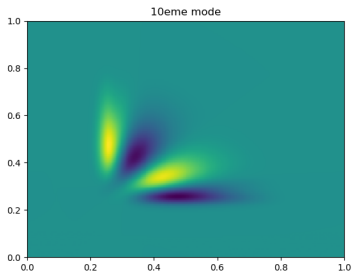
# Approche eulerienne

Champ de vitesse uniforme

Rôle des modes propres :



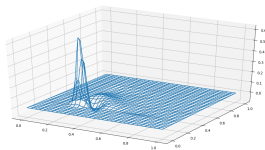




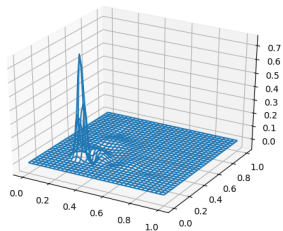
# Approche eulerienne

Champ de vitesse uniforme

Reconstruction d'une solution fine



Condition initiale, 10 modes

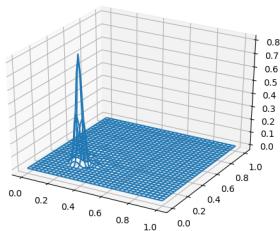


Condition initiale, 20 modes

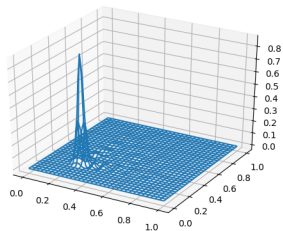
# Approche eulerienne

Champ de vitesse uniforme

Reconstruction d'une solution fine



Condition initiale, 50 modes

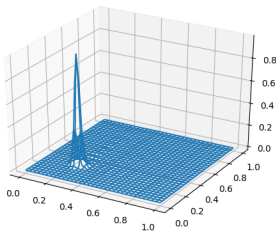


Condition initiale, 100 modes

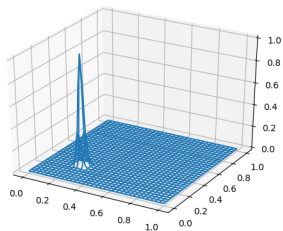
# Approche eulerienne

Champ de vitesse uniforme

Reconstruction d'une solution fine



Condition initiale, 200 modes

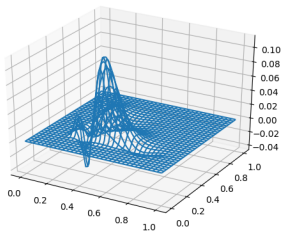


Condition initiale, 500 modes

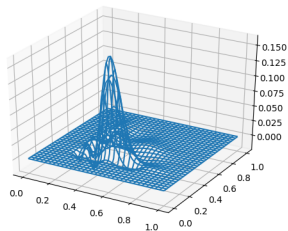
# Approche eulerienne

Champ de vitesse uniforme

Reconstruction d'une solution fine



A mi-parcours, 10 modes

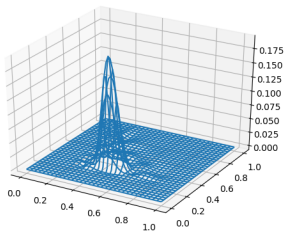


A mi-parcours, 20 modes

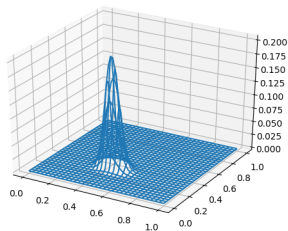
# Approche eulerienne

Champ de vitesse uniforme

Reconstruction d'une solution fine



A mi-parcours, 50 modes

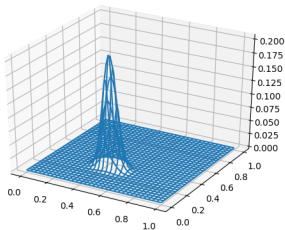


A mi-parcours, 100 modes

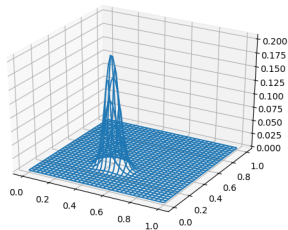
# Approche eulerienne

Champ de vitesse uniforme

Reconstruction d'une solution fine



A mi-parcours, 200 modes



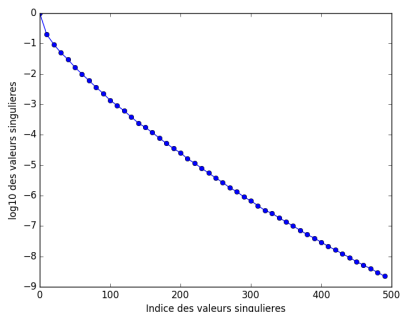
A mi-parcours, 500 modes

# Approche eulerienne

Ecoulements cellulaires

## 64 simulations en volumes finis

- On se place sur  $[-0.5, 1.5] \times [-0.5, 1.5]$
- Maillage de  $2^7$  mailles de côté
- $(x_0, y_0, \theta_0) \in [0.25, 0.75] \times [0.25, 0.75] \times [0, 2.5]$  tirés uniformément

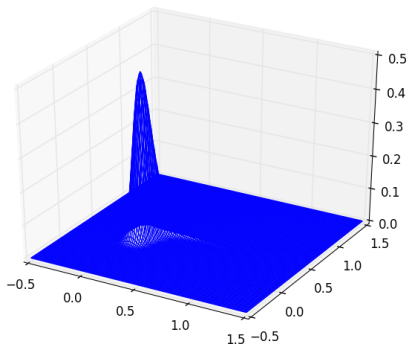




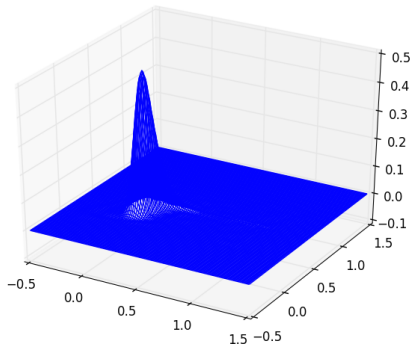
# Approche eulerienne

Ecoulements cellulaires

Reconstruction "in-range" :



Snapshot à mi-parcours, 200 modes

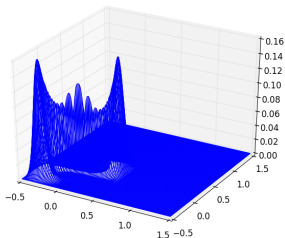


A mi-parcours, 200 modes

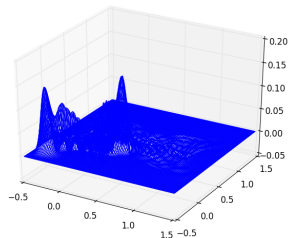
# Approche eulerienne

Ecoulements cellulaires

Reconstruction "out of range" :



Snapshot à mi-parcours, 500 modes



A mi-parcours, 200 modes

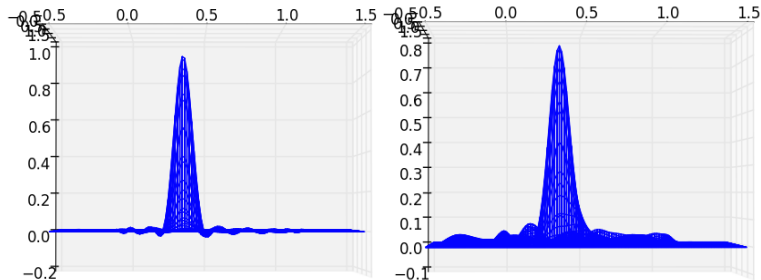
# Approche eulerienne

Ecoulements cellulaires

Prise en en compte de la positivité de la concentration

Recherche des coefficients  $(a_j)_j$  tels que :

$$(a_j)_j = \operatorname{argmin} \|c_* - \sum_j a_j \varphi_j\|_{L^2} \text{ s.c. } \sum_j a_j \varphi_j \geq 0$$



# Approche lagrangienne

Champ de vitesse uniforme

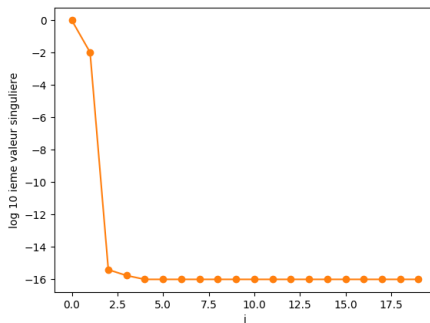


FIGURE 8: log des valeurs singulières pour 8000 particules

# Approche lagrangienne

Écoulements cellulaires

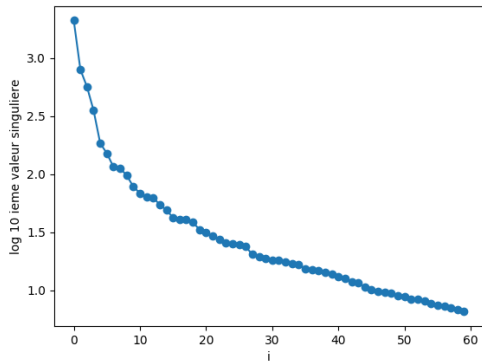


FIGURE 9: log des valeurs singulières pour 500 particules

# Approche lagrangienne

## Écoulements cellulaires

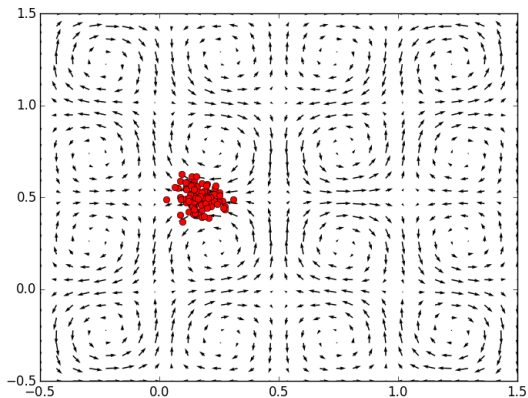


FIGURE 10: simulation pour 100 particules,  $\theta_0 = \theta_1 = \theta_2 = 0.5$

# Approche lagrangienne

Écoulements cellulaires

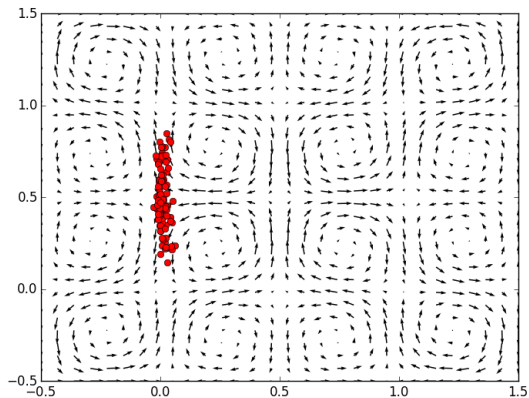


FIGURE 11: simulation pour 100 particules,  $\theta_0 = \theta_1 = \theta_2 = 0.5$

# Approche lagrangienne

Écoulements cellulaires

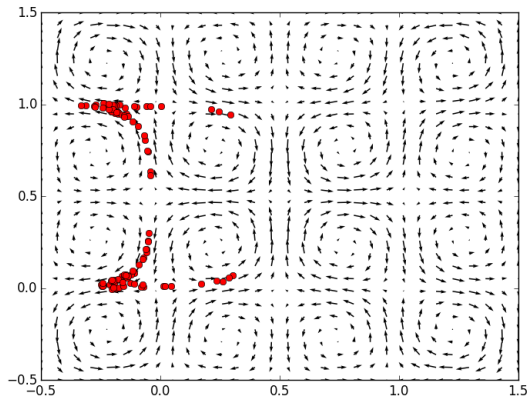


FIGURE 12: simulation pour 100 particules,  $\theta_0 = \theta_1 = \theta_2 = 0.5$



# Approche lagrangienne

## Écoulements cellulaires

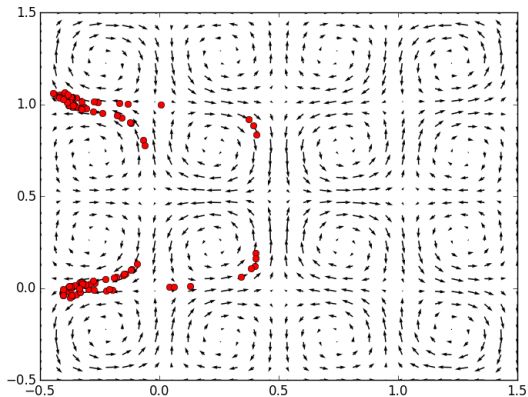


FIGURE 13: simulation pour 100 particules,  $\theta_0 = \theta_1 = \theta_2 = 0.5$

# Approche lagrangienne

Champ de vitesse de Lamb-Oseen

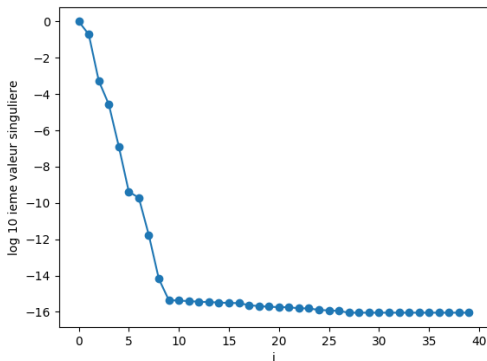


FIGURE 14: log des valeurs singulières pour 100 particules

## For Further Reading I



A. Author.

*Handbook of Everything.*

Some Press, 1990.



S. Someone.

On this and that.

*Journal of This and That*, 2(1) :50–100, 2000.